

УДК 548.734:621.793:621.7.044.2

## ИССЛЕДОВАНИЕ ВЫСОКОТЕМПЕРАТУРНЫХ ФАЗ W<sub>2</sub>B И β-WB, ПОЛУЧЕННЫХ ПРИ КУМУЛЯТИВНОМ НАНЕСЕНИИ ПОКРЫТИЙ

© 2010 С.А. Громилов<sup>1\*</sup>, С.А. Кинеловский<sup>2</sup>, А.В. Алексеев<sup>1</sup>, И.Б. Киреенко<sup>1</sup>

<sup>1</sup>Учреждение Российской академии наук Институт неорганической химии им. А.В. Николаева СО РАН, Новосибирск

<sup>2</sup>Учреждение Российской академии наук Институт гидродинамики им. М.А. Лаврентьева СО РАН, Новосибирск

Статья поступила 24 декабря 2009 г.

В условиях кумулятивного взрыва на титановых и стальных мишениях получены покрытия, содержащие высокотемпературные фазы боридов вольфрама — W<sub>2</sub>B и β-WB. Микротвердость в некоторых участках мишени достигает ≥42 ГПа. Проведен рентгенофазовый анализ разных участков покрытий. Значения параметров элементарных ячеек свидетельствуют об образовании фаз переменного состава. Проведено уточнение кристаллической структуры β-WB.

**Ключевые слова:** кумулятивный синтез, покрытие, борид вольфрама, W<sub>2</sub>B, β-WB, рентгенофазовый анализ, микротвердость.

Настоящая работа является продолжением экспериментов по получению сверхтвердых покрытий на титановых пластинах с помощью кумулятивного взрыва [1—5]. Ранее было показано, что в образовании сверхтвердых фаз и упрочнении поверхности подложки существенную роль играет устройство кумулятивного заряда, а именно, угол раствора α конической облицовки кумулятивной выемки. Это оказывает влияние на скорость движения кумулятивного потока и, как следствие, на температуру и давление в зоне реакции. Другим важным аспектом является присутствие легких элементов B, C, N, O, H — участников реакции взаимодействия с титановой мишенью. Их источником может служить материал взрывчатки (гексоген, ТНТ), либо специально изготовленная облицовка, наполненная графитом, аммиачной селитрой, аморфным бором или их смесями. В работе [5] были использованы борсодержащие облицовки и получены покрытия на титане с микротвердостью до 40 ГПа.

Целью данной работы является рентгенографическое исследование фаз, образующихся при использовании многокомпонентных облицовок, которые кроме аморфного бора содержат мелкодисперсные порошки вольфрама и титана.

### ЭКСПЕРИМЕНТАЛЬНАЯ ЧАСТЬ

Основные характеристики использованных кумулятивных устройств и условия проведения эксперимента аналогичны описанным в [2]. Использованы смеси мелкокристаллических порошков TiB<sub>2</sub>, B<sub>4</sub>C, W, Ti и "черного" аморфного бора. Проведено три опыта (A, B, C), объемные соотношения компонентов, материал мишени и положение мишени относительно оси распространения кумулятивной струи (центр или периферия) указаны в таблице. После тщательного перемешивания смесь засыпали в зазор между двумя соосными конусами, изготовленными из тонкой фильтровальной бумаги. Угол раствора конуса облицовки (α) составлял 30°. Для увели-

\* E-mail: grom@niic.nsc.ru

## Результаты рентгенофазового анализа\*

Опыт, материал мишени	Исходная смесь, объемные соотношения	$\beta\text{-WB}$ $a, b, c, \text{\AA}$ $Cm\bar{c}m$	$W_2B$ $a, c, \text{\AA}$ $I4/mcm$	$TiB_2$ $a, c, \text{\AA}$ $P6/mmm$
<b>A</b> Ti (BT1-0)	TiB <sub>2</sub> :B <sub>4</sub> C:W:Ti:B 1:1:2:1:1/2:1/2	3,190(6) 8,40(2) 3,072(6)	5,561(9) 4,756(8)	3,036(6) 3,232(6)
<b>B</b> Ti (BT1-0)**	W:B 1:1	3,175 8,42 3,055	5,553 4,723	—
<b>C1</b> Ti (BT1-0)	TiB <sub>2</sub> :B <sub>4</sub> C:W 1:2:2 золотистый	3,184 8,409 3,077	5,564 4,743	3,035 3,219
<b>C1</b> после шлифования	»	3,187 8,408 3,073	5,550 4,741	3,031 3,221
<b>C1</b> частица серого цвета	»	3,18(1) 8,44(4) 3,04(1)	5,55(3) 4,74(2)	3,03(1) 3,23(1)
<b>C2</b> Сталь G-20***	TiB <sub>2</sub> :B <sub>4</sub> C:W 1:2:2	3,161 8,400 3,071	5,553 4,724	3,033 3,195

\* Во всех образцах присутствует металлический вольфрам (см. рис. 2, 3, 4).

\*\* Химический состав BT1-0, мас.%: Ti 98,61—99,70; Fe до 0,18; C до 0,07; Si до 0,1; N до 0,04; O до 0,12; H до 0,01; прочие — 0,3.

\*\*\* Химический состав G-20, мас.%: Fe 98,94—99,43; C 0,17—0,24; Si 0,05—0,17; Mn 0,35—0,65.

чения толщины покрытия шайбы (диаметр 20 мм, толщина 5 мм) подвергались воздействию кумулятивного потока дважды. Цвет покрытий в основном серый, в отдельных участках почти черный. Исключение составляет образец **C1** с золотистой окраской, но под микроскопом видны отдельные вкрапления серого цвета. Снимок поверхности образца **B**, сделанный на электронном микроскопе JEOL JSM-6700F, демонстрирует характерную микроструктуру покрытия (рис. 1).

Образцы были изучены на рентгеновских аппаратах ДРОН-3М и ДРОН-УМ1 ( $CuK_{\alpha}$ -излучение, Ni-фильтр) в области углов  $2\theta$  от 20 до  $130^{\circ}$  при комнатной температуре. Дополнительно к этому отдельные микроучастки образца **C1** были исследованы в геометрии Дебая—Шеррера на монокристальном дифрактометре Bruker X8APEX по методике, аналогичной [6]. Рентгенофазовый анализ (РФА) был проведен с использованием картотеки PDF [7] и программы Powder Cell [8].

Дифрактограммы образцов **A**, **B** и **C** приведены на рис. 2—4. Для описания профилей отражений использовали функцию Лоренца. Координаты атомов и тепловые факторы были заданы в соответствии с известными в литературе данными [9]. При расчетах уточняли следующие факторы: количественные соотношения фаз, параметры элементарных ячеек и профильные параметры ( $u$ ,  $v$ ,  $w$ ). Кристаллографические характеристики обнаруженных фаз приведены в таблице.

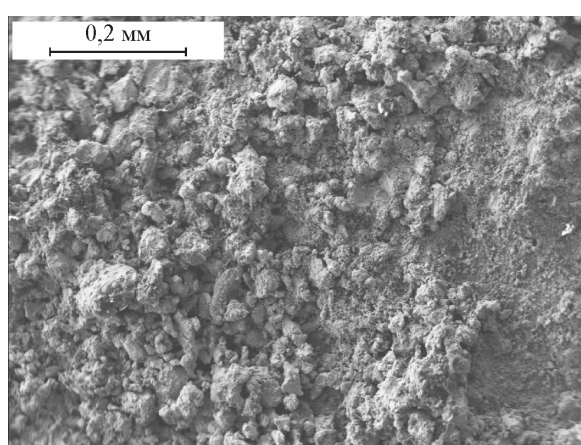


Рис. 1. Микрофотография образца **B1**

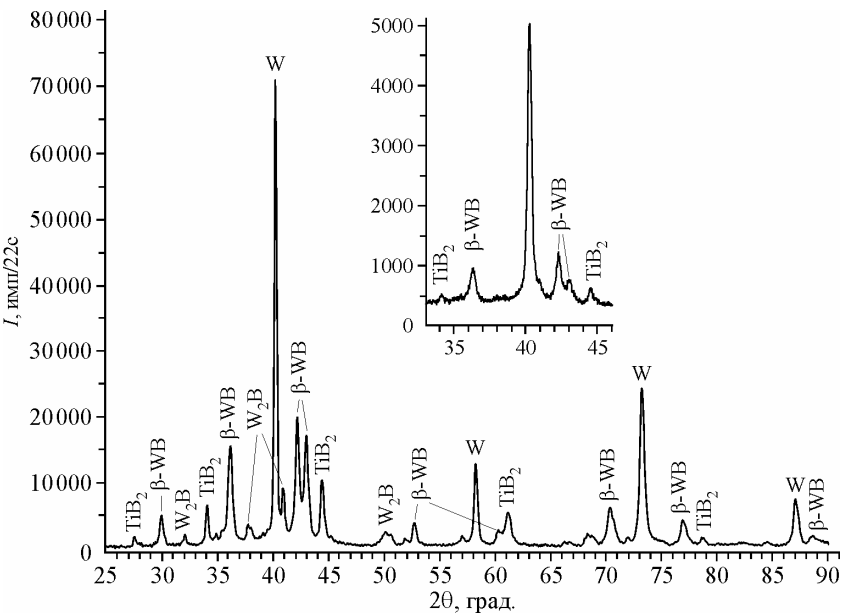


Рис. 2. Дифрактограмма образца А с расшифровкой фазового состава.

На вставке показано изменение дифракционной картины после шлифования образца

Микротвердость образцов по Виккерсу ( $H_V$ ) измерена на ПМТ-3 (нагрузка 50—100 г, выдержка 5 с) методом восстановленного отпечатка четырехгранной пирамиды с квадратным основанием [10, 11]. Образцы перед измерением полировали на корундовой пластине до  $R_a = 0,025$  и  $R_z = 0,1$  мкм. Во всех случаях было сделано более 40 отпечатков, диагональ каждого из них измеряли не менее трех раз. Результаты измерения образцов А, В и С1 представлены на рис. 5.

#### ОБСУЖДЕНИЕ РЕЗУЛЬТАТОВ И ВЫВОДЫ

Основным результатом проведенных экспериментов является образование W<sub>2</sub>B [7, № 73-1767] и β-WB [7, № 6-541]. Согласно данным [12], W<sub>2</sub>B образуется в температурном диапазоне 1200—1600 °C, а β-WB — 1850—1960 °C. При обработке дифрактограмм для описания профилей отражений фазы W<sub>2</sub>B мы использовали следующие структурные характеристики:

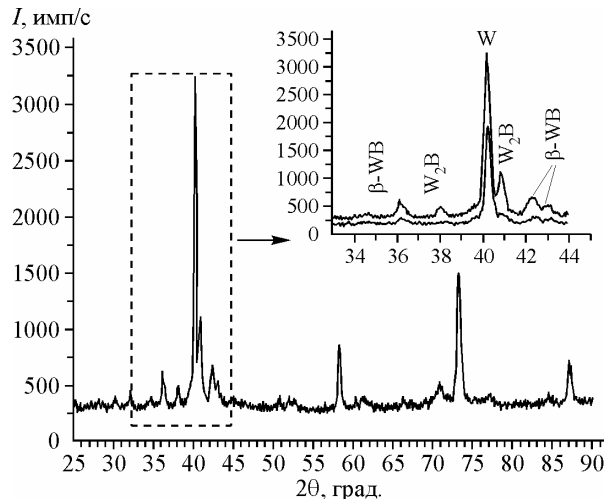


Рис. 3. Дифрактограмма образца В1.  
На верхней кривой вставки показано отнесение основных дифракционных линий обнаруженным фазам, на нижней — изменение фазового состава по глубине образца (т.е. после шлифовки образца)

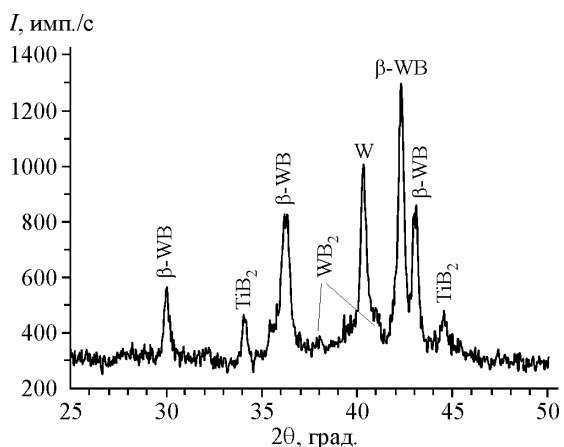


Рис. 4. Дифрактограмма образца С1 с расшифровкой фазового состава

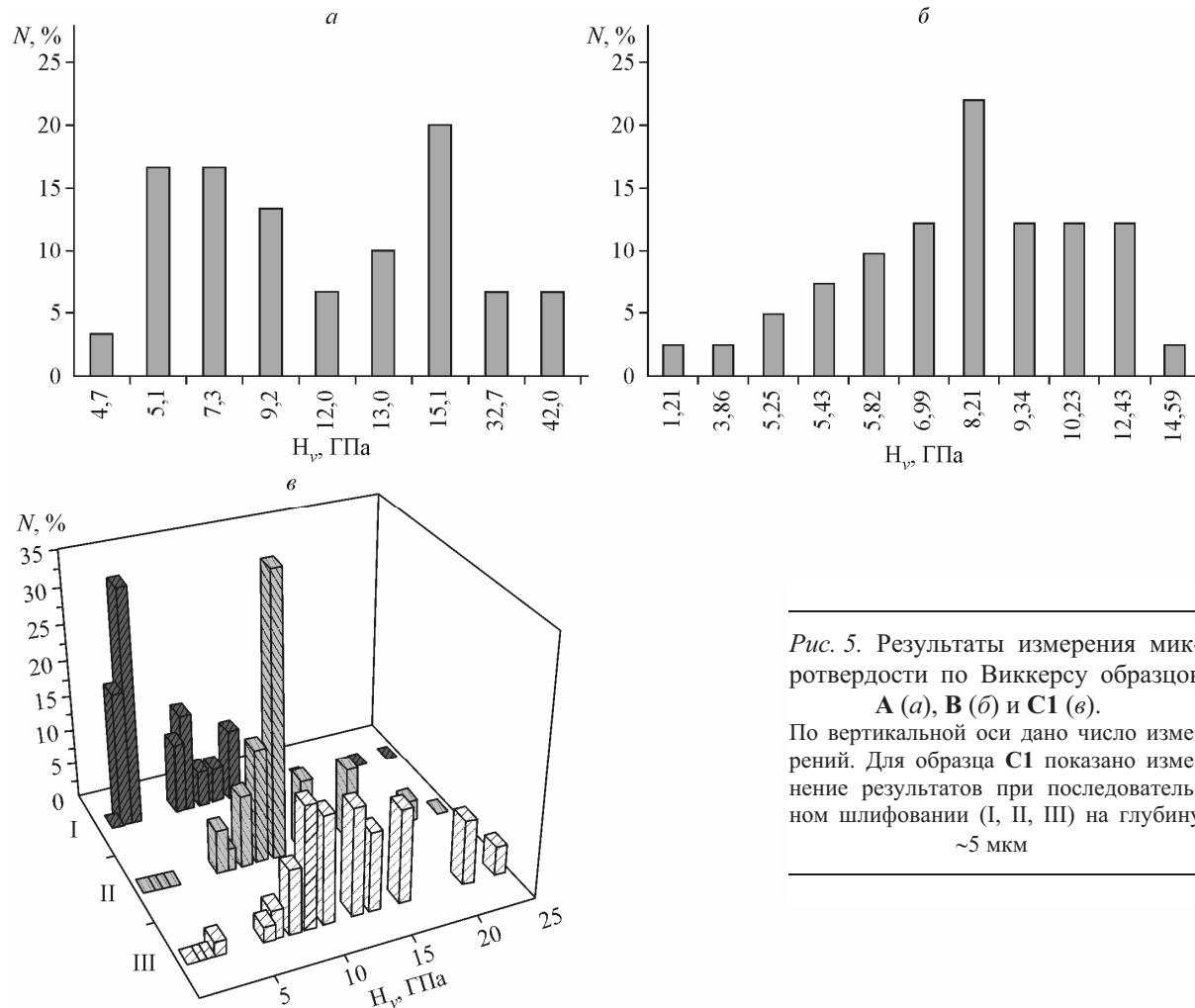


Рис. 5. Результаты измерения микротвердости по Виккерсу образцов **A** (а), **B** (б) и **C1** (в).

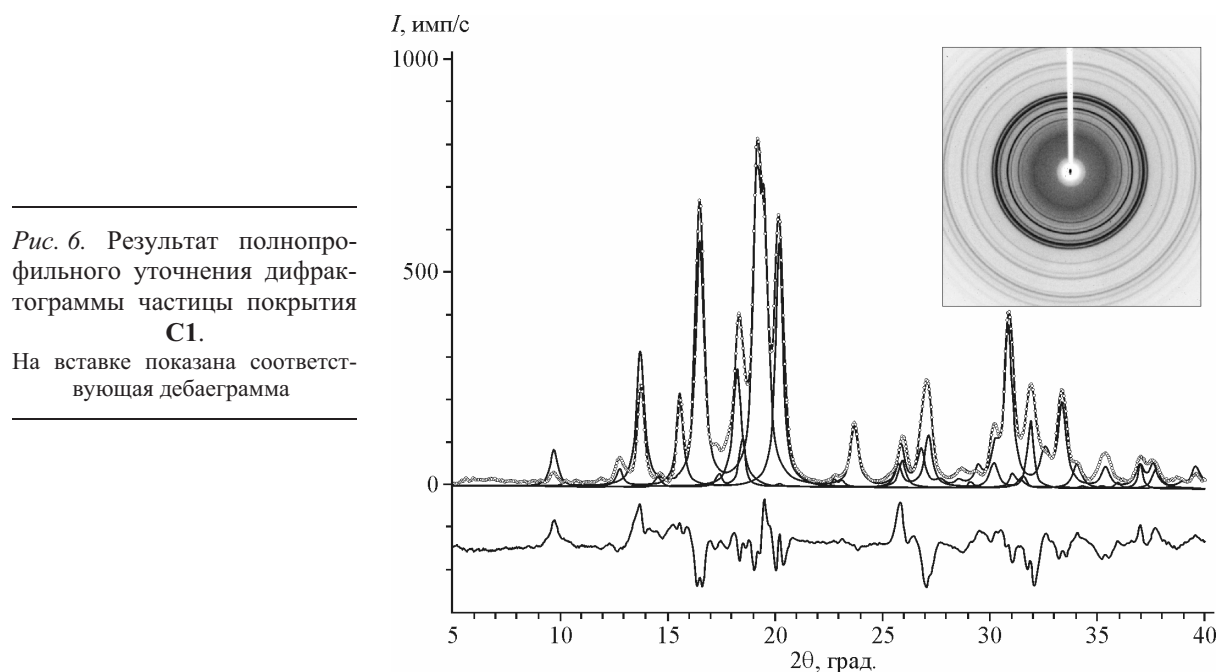
По вертикальной оси дано число измерений. Для образца **C1** показано изменение результатов при последовательном шлифовании (I, II, III) на глубину  $\sim 5 \text{ мкм}$

$a = 5,561, c = 4,756 \text{ \AA}$ , пр. гр.  $I4/mcm$ , W (0,1692; 0,6692; 0), B (0; 0; 0,25) [8, № 45258]. Структура  $\beta$ -WB в литературе не описана, согласно данным [6, № 6-541] ее кристаллографические характеристики:  $a = 3,19, b = 8,40, c = 3,07 \text{ \AA}$ , пр. гр.  $Cmcm$ . В работе [13] установлено, что  $\beta$ -WB изоструктурна фазе CrB [8, № 30603 и № 44249]. Модель этой структуры использовали при проведении полнопрофильного уточнения с помощью программы GSAS [14]. Стартовая модель выглядела так: W (0; 0,1453; 0,25), B (0; 0,4360; 0,25), тепловые колебания (B) были заданы 1 и 2 соответственно.

**Опыт А.** Полнопрофильное уточнение дифрактограммы образца **A** проведено до  $R_p = 17,0\%$ . Параметры элементарных ячеек (ПЭЯ) обнаруженных фаз даны в таблице. Можно отметить, что в опыте **A** исходная фаза  $\text{TiB}_2$  практически не изменилась, можно говорить лишь об увеличении размеров областей когерентного рассеяния (об этом свидетельствует уширение дифракционных пиков). Шлифование поверхности образца **A** привело к заметному снижению количества фазы  $\text{TiB}_2$  (см. вставку на рис. 2).

Измерения микротвердости  $H_V$  показали, что для шайбы **A** среднее значение  $H_V \approx 15,68 \text{ ГПа}$ , при этом на отдельных участках значения достигали 42,01 ГПа (см. рис. 5). Согласно литературным данным [12], микротвердость  $\text{W}_2\text{B}$  составляет 23,72 ГПа, а  $\text{TiB}_2$  — 33,32 ГПа. Значения  $H_V$  для  $\beta$ -WB мы в доступной литературе не обнаружили, для  $\alpha$ -WB (тетрагональная модификация) оно составляет 36,26 ГПа.

**Опыт В.** Полнопрофильное уточнение дифрактограммы образца **B** проведено до  $R_p = 8,04\%$ . На рис. 3 показано отнесение основных дифракционных отражений обнаруженным



*Рис. 6.* Результат полнопрофильного уточнения дифрактограммы частицы покрытия **C1**.

На вставке показана соответствующая дебаеграмма

кристаллическим фазам. После шлифования образца фазовый состав практически не меняется, об этом свидетельствует сравнение кривых на вставке рис. 3.

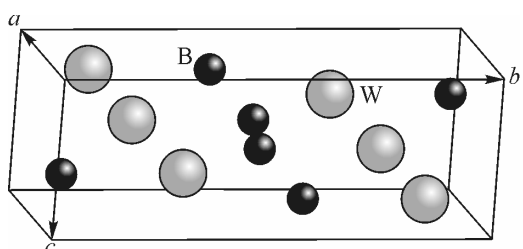
В этом же опыте на периферии располагалась стальная мишень, но на ней обнаружены лишь следы фазы β-WB.

Измерения  $H_V$  шайбы **B** показали разброс значений от 3,86 до 14,59 ГПа (см. рис. 5).  $H_V$  материала подложки (титановый сплав BT1-0) составляет 3,11 ГПа, т.е. после кумулятивной обработки микротвердость поверхности образца **B** увеличилась в 3—4,5 раза.

Таким образом, в настоящей работе в условиях кумулятивного нанесения покрытий на титановые и стальные мишени получены высокотемпературные фазы боридов вольфрама — W<sub>2</sub>B и β-WB. Полнопрофильное уточнение дифрактограмм показало, что полученные фазы имеют переменный состав.

**Опыт С.** РФА образцов **C1** и **C2** показал идентичность их фазовых составов: отличия заключаются лишь в их количественных соотношениях. На дифрактограмме образца **C1** отражения, отнесенные к β-WB, имеют самую высокую относительную интенсивность среди всех изученных образцов (см. рис. 4). Полнопрофильное уточнение проведено до  $R_P = 4,07 \%$ . При этом координата  $y/b$  атома W в структуре β-WB была равна 0,162. Уточнение позиций атомов B не привело к заметным изменениям по сравнению со стартовой моделью. К таким же результатам привело исследование микроучастков отколотых с поверхности образца **C1**, проведенное на дифрактометре Bruker X8APEX. Всего было изучено 4 частицы с размером ~0,2 мм, взятых в отличающихся друг от друга по цвету областях. РФА данных частиц показал, что они имеют одинаковый фазовый состав, однако с разным количественным содержанием фаз. Наибольшее содержание интересующей нас фазы β-WB было зафиксировано в частице серого цвета. На рис. 6 приведена 2D-дебаеграмма и результат полнопрофильного уточнения соответствующей одномерной дифрактограммы. Результаты уточнения ПЭЯ даны в таблице. На рис. 7 показана уточненная модель кристаллической структуры β-WB.

Проведено послойное измерение микротвердости поверхности образца **C1** (см. рис. 5, в). Каждый



*Рис. 7.* Кристаллическая структура β-WB

раз с поверхности образца сошлифовывали  $\sim 3\text{--}4$  мкм и проводили полировку. Значения  $H_V$  меняются в широком диапазоне — от 3,24 до 26,10 ГПа, по направлению к металлу в целом твердость поверхности увеличивается. Микротвердость материала подложки (титановый сплав ВТ1-0) составляет 3,11 ГПа. Таким образом, относительно титановой подложки поверхность образца стала тверже не менее чем в 6—8 раз.

Сравнение ПЭЯ фаз  $W_2B$  и  $\beta$ -WB, образовавшихся в экспериментах **A**, **B** и **C**, указывает на непостоянство их составов. Указать точный состав этих фаз не представляется возможным, так как в реакциях наряду с металлами участвуют другие легкие элементы — С, N, O.

Работа поддержана Междисциплинарным интеграционным проектом СО РАН № 32 2009 г. "Динамика структурно-фазовых состояний и фундаментальные основы синтеза нанокомпозитов в кумулятивных потоках".

#### *СПИСОК ЛИТЕРАТУРЫ*

1. Громилов С.А., Алексеев А.В., Кинеловский С.А., Киреенко И.Б. // Физика горения и взрыва. – 2004. – **40**, № 3. – С. 125 – 131.
2. Громилов С.А., Алексеев А.В., Кинеловский С.А., Киреенко И.Б. // Физика горения и взрыва. – 2003. – **39**, № 6. – С. 131 – 136.
3. Громилов С.А., Кинеловский С.А., Киреенко И.Б. // Журн. структур. химии. – 2003. – **44**, № 3. – С. 486 – 493.
4. Патент RU № 2144574C1. Способ нанесения покрытий тугоплавких металлов и их соединений с легкими неметаллами / С.А. Громилов, С.А. Кинеловский, Ю.Н. Попов, Ю.А. Тришин // Открытия. Изобретения. – 2000. – № 2.
5. Кинеловский С.А., Алексеев А.В., Громилов С.А., Киреенко И.Б. // Физика горения и взрыва. – 2006. – **42**, № 2. – С. 121 – 127.
6. Алексеев А.В., Громилов С.А., Киреенко И.Б. и др. // Журн. структур. химии. – 2008. – **49**, № 3. – С. 495 – 499.
7. Powder Diffraction File, Inorganic Phases, Alphabetical Index, ICDD, USA, 1995.
8. Kraus W., Nolze G. // J. Appl. Cryst. – 1996. – **29**. – P. 301 – 303.
9. Inorganic Crystal Structure Database, ICSD, Fachinformationszentrum Karlsruhe, D-1754 Eggenstein-Leopoldschafen, Germany, 2008.
10. ГОСТ 299-75. Металлы и сплавы. Метод измерения твердости по Виккерсу. Введ. 01.07.76.
11. ГОСТ 9450-76. Измерение микротвердости вдавливанием алмазных наконечников. Введ. с 01.01.77.
12. Самсонов Г.В., Марковский Л.Я., Жигач А.Ф. и др. Бор, его соединения и сплавы. – Киев: Изд-во АН УССР, 1960.
13. Boller H., Rieger W., Nowotny H. // Mh. Chem. – 1964. – **95**, N 6. – P. 1497 – 1501.
14. Larson A.C., Von Dreele R.B. General Structure Analysis System (GSAS). Los Alamos National Laboratory Report No. LAUR 86-748. – 1994.